

## ارزیابی آسیب‌پذیری کالبدی - اقتصادی بافت‌های فرسوده شهردارد بیل در مقابل خطرپذیری لرزه‌ای

احمد خواجه‌جی<sup>۱</sup>

رسول صمدزاده<sup>۲</sup>

محمد تقی معصومی<sup>۳</sup>

### چکیده

زمین‌لرزه‌ها عامل ویرانی بسیاری از سکونتگاه‌های انسانی مخصوصاً بافت‌های فرسوده و قدیمی در طول تاریخ بشر بوده‌اند. این قبیل بنها به ویژه در برایر مخاطرات لرزه‌ای آسیب‌پذیر هستند. نخستین گام برای کاهش خطر زمین‌لرزه شامل درک خطر لرزه‌ای موجود و ارزیابی راهبردهای احتمالی برای کاهش آن است. در این پژوهش از یک روش مبتنی بر نمایه آسیب‌پذیری برای ارزیابی خسارت مورد انتظار در بافت‌های فرسوده شهردارد بیل استفاده شده است. واکاوی خطرپذیری برای سناریوهای زمین‌لرزه تعریف شده توسط شدت‌های مهلزلرزه‌ای V-VI، VI-VII و VII برای طراحی برنامه‌های اضطراری لرزه‌ای انجام شده است. اوج شتاب اولیه زمین برای یک دوره بازگشت ۴۷۵ ساله ۰۰۴ g است که مربوط به شدت VII می‌باشد. بنابراین، ضمن کمی‌سازی آسیب‌فیزیکی، تأثیر آن بر جمعیت و سایر مقادیر مانند آوار و هزینه اقتصادی بررسی شده است. علی‌رغم خطر لرزه‌ای متوسط تا زیاد در اردبیل، نتایج نشان می‌دهد که به دلیل قدمت زیاد، گونه‌شناسی بنایی تقویت نشده (یا غیر مسلح) و تقویت شده (مسلح) ساختمان‌های واقع در بافت‌های فرسوده و آسیب‌پذیری محیط ساخته شده، خطر بسیار زیاد است و آسیب‌پذیرترین بافت‌ها در مناطق یک و دو شهری واقع گردیده‌اند.

**واژگان کلیدی:** آسیب‌پذیری فیزیکی - اقتصادی، سناریوهای لرزه‌ای، خطرپذیری لرزه‌ای، بافت فرسوده، اردبیل

### مقدمه

در طول چند دهه اخیر وقوع بلایای طبیعی و پیامدهای ناشی از آن به یکی از دغدغه‌های اصلی رهبران و سازمان‌های متولی سراسر جهان تبدیل شده است (Ciurean and Schroter, 2012: 14). خطر بخشی از زندگی است. از این‌رو مستلزم تعریف چارچوب نظاممند و دربرگیرنده فراستنجهای خطرپذیری و جامعه در معرض خطر است (Servi, 2004: 17).

آسیب‌پذیری عبارت است از "ویژگی‌های یک فرد، گروه یا یک سامانه و موقعیت آن‌ها که بر توانایی‌شان در پیش‌بینی، مقابله، مقاومت و بازیابی از اثر خطر طبیعی، تأثیر می‌گذارد" (Wisner et al, 2004:22). فراستنجهای کلیدی مفهوم آسیب‌پذیری به منظور قانونمندسازی عبارت‌اند از: تنش‌هایی که سیستم در معرض آن قرار می‌گیرد، حساسیت و قابلیت سازگاری سیستم (Turner et al, 2003: 8077). آسیب‌پذیری فیزیکی عبارت است از: «احتمال (یا توان) تأثیرپذیری و یا آسیب‌دیدگی یک مولفه یا عنصر فیزیکی مشخص تحت تأثیر نیروی محرک بیرونی خاص، برای مثال یک خطر طبیعی مانند زمین‌لرزه. امروزه آسیب‌پذیری فیزیکی یکی از

<sup>۱</sup>. دانشجوی دکتری جغرافیا و برنامه‌ریزی شهری، واحد اردبیل، دانشگاه آزاد اسلامی، اردبیل، ایران

<sup>۲</sup>. دانشیار گروه جغرافیا، واحد اردبیل، دانشگاه آزاد اسلامی، اردبیل، ایران(نویسنده مسئول)

Email : samadzadehr@gmail.com-Tel: 09143537735

<sup>۳</sup>. استادیار گروه جغرافیا، واحد اردبیل، دانشگاه آزاد اسلامی، اردبیل، ایران

مولفه‌های اصلی کلیدی به عنوان داده‌های ورودی مدل توسط سازمان‌های متولی پیشگیری و تعديل خطر، و تدوین آئین‌نامه‌ها و دستورالعمل‌های ساختمانی، مورد استفاده قرار می‌گیرد (Meslem and Lang, 2017: 9).

در این دیدگاه، و برای نوع خاصی از گونه‌شناسی ساختمانی، آسیب‌پذیری فیزیکی به عنوان احتمال تحمل سطح معینی از آسیب فیزیکی تعریف می‌گردد. علاوه‌بر این، آسیب‌پذیری فیزیکی با اندازه‌گیری خسارت فیزیکی ناشی از سطح معینی از شدت حرکت زمین، تاثیرات شدیدی بر زیان‌های مالی و اجتماعی دارد (FEMA, 2002: 385) در واقع آسیب‌پذیری توصیف کننده درجه نسبی از خطر، حساسیت، مقاومت و تاب‌آوری به یک حادثه مخاطره آمیز یا فاجعه می‌باشد (Dalziel and McManus, 2004<sup>۱</sup> به نقل از قنبری، ۱۳۹۹: ۲۰۴).<sup>۲</sup>

محیط‌های شهری از یک طبقه‌بندی تاریخی برخوردار هستند که در آن توپوگرافی، ژئومورفولوژی، هیدرولوژی، محیط‌زیست و فضاهای باز، با یکدیگر همسو می‌شوند. اهمیت شهرهای تاریخی و مواریث فرهنگی و باستانی به‌جامانده در هسته اولیه کانون‌های مدنی به‌مراتب فراتر از سایر مناطق و سازه‌های شهری است. این قبیل مکان‌ها، بخشی از میراث فرهنگی شهری پیچیده و پویا هستند که با تعامل پیوسته مادی و معنوی و تکامل مداوم ساختارهای آن‌ها مشخص می‌شوند (UNESCO, 2013: 15).

یکی از انگیزه‌های اصلی کشورها به منظور ایجاد برنامه‌های مدیریت یکپارچه خطرپذیری فاجعه شامل: برنامه‌هایی برای کاهش آسیب‌پذیری، گزینه‌ها و ابزارهای برنامه‌ریزی، راهبردهای انتقال و تامین مالی، تحلیل هزینه – سود برای برنامه‌های مقاوم‌سازی<sup>۳</sup>، برآورد خسارات و ضررها احتمالی ناشی از زمین‌لرزه‌ها در مناطق شهری بوده است. با توجه به احتمال وقوع روی‌دادهای ویرانگر در آینده، برآورد خطرپذیری بایستی بر مبنای مدل‌های احتمالاتی استوار گردد. بنابراین، ارزیابی خطرپذیری باید با رویکرد آینده‌نگاری صورت بگیرد، یعنی پیش‌بینی قابل اعتماد علمی روی‌دادهایی که ممکن است در آینده اتفاق یافتد (Yamin et al, 2012: 4).

منابع اصلی عدم قطعیت در تحلیل خطرپذیری عبارت‌اند از: برآورد خطرپذیری لرزه‌ای و ارزیابی آسیب‌پذیری هر یک از سازه‌های ساختاری مورد تجزیه و تحلیل. عناصر مختلف در معرض خطر باید دقیقاً تجزیه و تحلیل شوند تا برآورد گردد که آسیب‌پذیری‌های محلی حتی چگونه می‌توانند آسیب‌پذیری‌های جهانی را تحت تاثیر قرار دهند (Jiménez et al, 2018: 20).

شهرها از لحاظ مورفولوژی و عملکرد، از سامانه‌های پیچیده همراه با خردسامانه‌های مختلفی تشکیل شده‌اند که جهت تضمین عملکرد درست شبکه در تعامل با هم هستند. ساختمان‌های راهبردی و کلیدی، مراکز تاریخی، زیرساخت‌های حیانی و فضاهای باز، به عنوان اجزاء اصلی شبکه شهری بایستی در ارزیابی‌های لرزه‌ای بزرگ مقیاس مدنظر قرار گیرند (Basaglia et al, 2018: 12).

فجایع لرزه‌ای و پیامدهای احتمالی ناشی از آن، نگرانی‌های فزاینده‌ای در کانون‌های جمعیتی، بهویشه شهری را به دنبال داشته است (Jiménez et al, 2018: 22). این نگرانی‌ها در کشورهای در حال توسعه و لرزه‌خیز که ایران نیز در ردیف این دسته از کشورهای است، نمود عینی و ملموس‌تری داشته است. آنچه که زمین‌لرزه را به عنوان تمدید مطرح می‌کند، عدم آمادگی بشر در مقابله با آن است (حبیبی و همکاران، ۱۳۹۵: ۱۰۲).

نگاهی به تاریخ لرزه‌خیزی شهرهای ایران در کمتر از یک‌صد سال اخیر که علاوه بر تلفات جانی و مالی بی‌بازگشت (دریان و هرائینی، ۱۳۹۸: ۹۲) با ویرانگری‌هایی همراه بوده است، بیانگر ابعاد گسترده آسیب‌پذیری شهرهای ایران از این فاجعه طبیعی است. طبیعتاً در این میان نگرانی‌های ساکنین بافت‌های فرسوده و متولیان مراکز تاریخی شهرها به مراتب بیشتر از دیگران خواهد بود.

<sup>۱</sup>. Federal Emergency Management Agency (FEMA) (اژانس فدرال مدیریت اضطراری)

<sup>۲</sup>. Dalziell and McManus

<sup>۳</sup>. Retrofitting Programs



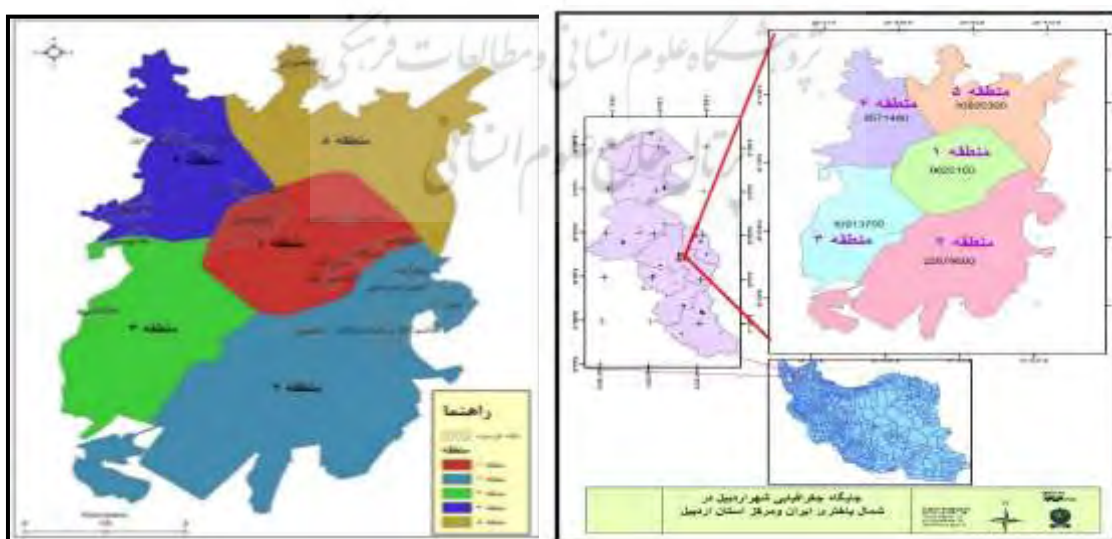
گستره دشت اردبیل توسط گسل‌های لرزاگی چون خطواره مغناطیسی اردبیل- میانه، گسل شمال بزقوش، گسل نئور، گسل‌های دامنه‌های سبلان و... محصور گردیده است. این گسل‌ها در پیشینه لرزاگی خود با رویداد زمین‌لرزاگی مهمی همراه بوده‌اند که ویرانی و آسیب‌های عمدۀ به شهرها و روستاهای پیرامونی خود را به دنبال داشته است. ویرانگرترین و درعین حال جدیدترین آن زمین‌لرزاگی روستای گلستان در تاریخ ۱۳۷۵/۱۲/۱۰ با بزرگی  $M_s=6/5$  است. لذا تاریخچه لرزاگی منطقه گویای این واقعیت است که گستره اردبیل به دفعات رویداد زمین‌لرزاگی متعدد و ویرانگری را تجربه نموده است. بنابراین می‌توان گفت که منطقه توان بالقوه ایجاد زمین‌لرزاگی با بزرگی ۶/۵ ریشتر را دارد (صمدزاده و همکاران، ۱۳۸۹: ۱۰۶).

تأثیر سناریوهای لرزاگی بر روی سکونتگاه‌ها و ساکنین بافت‌های فرسوده یکی از کهن‌ترین شهرهای ایران یعنی اردبیل، هدف نهایی این مطالعه است تا ضمن فراهم‌ساختن اطلاعات کارآمد در مورد ارزیابی آسیب‌پذیری لرزاگی برناۀ عملیاتی شهری به روز رسانی گردد. هدف اصلی برنامۀ عملیاتی ارائه یک پاسخ سریع و مؤثر است که آسیب‌های احتمالی به مردم، دارایی و محیط زیست را به حداقل رسانده و خدمات اساسی را به مردم در کمترین زمان ممکن بازگرداند.

## داده‌ها و روش کار

### محدوده مورد مطالعه

اردبیل سومین شهر بزرگ و پرجمعیت شمال باختری ایران است. این شهر در داخل یک چاله ساختمانی موسوم به دشت اردبیل قرار گرفته است. مساحت این شهر ۶۲۸۸ هکتار و بر اساس سرشماری عمومی سال ۱۳۹۵ جمعیت آن ۵۲۹۳۷۴ نفر است. تراکم جمعیت شهر به ۸۴/۱۸ نفر در هر هکتار می‌رسد. شهر اردبیل از ۱۵ محله تحت عنوان بافت فرسوده تشکیل شده است (شکل ۲). ساختمان‌های موجود در بافت فرسوده شهر اردبیل در مجموع به سه نوع؛ اسکلت فلزی، بتن آرمه و مصالح بنائی تقسیم گردیده است. داده‌های مربوط به بناها و ساختمان‌های شهر و اطلاعات سازه‌ای موجود از سوابق امر شهرداری اردبیل استخراج گردیده است. این اطلاعات شامل قدمت (سال ساخت) ساختمان، گونه‌شناسی سازه‌ای، تعداد طبقات، وضعیت حفاظت و سرشماری جمعیت (شهروندان ساکن در هر ساختمان) است. تحلیل آسیب‌پذیری و خسارت فیزیکی مستقیم و برآورد تاثیرات آن بر جمعیت بر اساس تعداد بناهای بافت فرسوده صورت گرفته است (جدول ۶).



شکل (۲). موقعیت جغرافیایی شهر اردبیل و بافت‌های فرسوده واقع در داخل مناطق پنجگانه آن

## روش پژوهش

پژوهش حاضر از لحاظ هدف از نوع کاربردی و از نظر ماهیت نیز از نوع توصیفی-تحلیلی است. قلمرو پژوهش مناطق پنجگانه شهر اردبیل می‌باشد. ساختمان‌های موجود در بافت‌های فرسوده شهر اردبیل در مجموع به سه نوع؛ بنایی، بتن آرمه و فولادی تقسیم گردیده است. داده‌های مربوط به بناها و ساختمان‌های شهر و اطلاعات سازه‌ای موجود از سوابق امر شهرداری اردبیل و همچنین سرشماری عمومی نفوس و مسکن سال ۱۳۹۵ مرکز آمار ایران استخراج گردیده است. این اطلاعات شامل قدمت (سال ساخت) ساختمان، گونه‌شناسی سازه‌ای، تعداد طبقات، وضعیت حفاظت و سرشماری جمعیت (شهروندان ساکن در هر ساختمان) است. تحلیل آسیب‌پذیری و خسارت فیزیکی مستقیم و برآورد تاثیرات آن بر جمعیت بر اساس تعداد ۱۴۰۶ ساختمان مسکونی صورت گرفته است.

در این پژوهش روش نمایه آسیب‌پذیری به منظور ارزش‌گذاری عددی هر ساختمان از لحاظ کیفیت لرزه‌ای و برای تدوین سناریوهای لرزه‌ای، رفتار لرزه‌ای ساختمان‌ها بر اساس شدت مهلهزهای مبتنی بر مقیاس اروپایی (EMS-98) استفاده شده است. سپس آسیب‌پذیری فیزیکی ساختمان‌های شهر اردبیل و تاثیرات آسیب‌زای دیگر شامل آسیب به جمعیت، هزینه‌های اقتصادی، آوار حاصل از تخریب بناها و در نهایت سناریوهای لرزه‌ای برای شهر اردبیل تدوین شده است. در ادامه به مراحل اجرای روش‌های به کار گرفته شده به صورت مختصر اشاره می‌گردد:

### رفتار لرزه‌ای<sup>۱</sup>

رفتار لرزه‌ای از نظر شدت مهلهزهای ۲ با توجه به مقیاس اروپایی (Grünthal, 1998) در نظر گرفته شده و ساختمان‌ها نیز با استفاده از نمایه‌های آسیب‌پذیری (LM1) مشخص شده‌اند. به عبارت دیگر روش LM1 که به عنوان بخشی از پروژه EU-Risk (خط‌پذیری اروپا) تدوین گردیده است (Lantada, 2007; Milutinovic and Trendafiloski 2003; Mouroux and Lebrun 2006a, 2006b). سناریوهای زمین‌لرزه را می‌توان بر اساس زمین‌لرزه‌های احتمالی انتخاب کرد. در سناریوهای قطعی معمولاً بیشترین شدت لرزه‌ای که در منطقه مورد مطالعه تجربه شده است انتخاب می‌گردد. سناریوهای احتمالی به زمین‌لرزه‌های با احتمال رویداد از پیش تعریف شده مربوط می‌گردد. معمولاً زمین‌لرزه‌های با دوره بازگشت ۴۷۵ ساله انتخاب می‌گردد، یعنی شدت مهلهزهای با احتمال رویداد ۱۰٪ در هر ۵۰ سال (Lantada et al. 2018: 5).

### روش نمایه آسیب‌پذیری

این روش از میانگین توابع آسیب‌پذیری نیمه‌تجربی استفاده می‌کند، که برای یک نمایه آسیب‌پذیری معین، به شدت مهلهزهای و خسارت مورد انتظار مربوط می‌گردد (Lantada et al. 2018: 4). این روش که توسط گرونال (Grünthal, 1998) و مطالعات پروژه خط‌پذیری اروپا (Giovinazzi, 2005; Giovinazzi and Lagomarsino, 2002; Milutinovic and Risk-UUE, 2006) پیشنهاد گردیده، روشی توانمند برای ارزیابی آسیب و خط‌پذیری لرزه‌ای مورد انتظار در مناطق شهری است. نمایه آسیب‌پذیری مقادیر بین صفر (کم‌ترین آسیب‌پذیری) و ۱ (بیشترین آسیب‌پذیری) را به خود می‌گیرد. مقادیر فرین زیر صفر و بالای ۱ برای ساختمان‌های آسیب‌پذیر و تقویت شده ویژه مجاز است. این نمایه‌های آسیب‌پذیری به مقادیر یک پارامتر عضویت،  $\chi$ ، از ردۀ‌های آسیب‌پذیری مقیاس EMS-98 مربوط می‌شود:  $\chi$  شامل مقادیر بین ۱، کل عضویت؛ و صفر، عدم عضویت؛ را دربر می‌گیرد.

در جدول ۱، نمایه‌های آسیب‌پذیری (VI) ساختمان‌های شهر اردبیل، ( $\chi = 1$ ) \* محتمل‌ترین مقدار است، [BTMVI- BTMVI+ BTMVI] ( $\chi = 0.5$ ) فاصله‌ای را نشان می‌دهد که در آن نمایه‌های آسیب‌پذیری احتمالی یافت می‌شود، و

<sup>1</sup>. Seismic Action

2. Macroseismic Intensity



کمینه و بیشینه مقادیر ممکن را تعریف می‌کند. در این روش، هر ساختمان با استفاده از یک نمایه آسیب‌پذیری خاص، که از یک نمایه اصلی، BTMVI\* در جدول ۱، به دست می‌آید، و اصلاح‌کننده‌های مناسب مشخص می‌شود، به گونه‌ای که می‌توان این مقدار مرکزی را با قدمت، ویژگی‌های هندسی، موقعیت و سایر خصوصیات مکانیکی ساختمان، در محدوده مقادیر مجاز محتمل و ممکن تطبیق داد. در این مطالعه، اصلاح‌کننده‌های ناحیه‌ای و رفتاری در نظر گرفته شده است.

جدول ۱. گونه‌شناسی سازه‌ای و رده‌های آسیب‌پذیری در شهر اردبیل

نمایه آسیب‌پذیری					نوع ساختمان		
min, BTMVI	- BTMVI	*BTMVI	+BTMVI	max, BTMVI	M3.1	دالهای چوبی	بنایی تقویت نشده (غیرمسلح)
۰/۴۶۰	۰/۶۵۰	۰/۷۴۰	۰/۸۳۰	۱/۰۲۰	M3.2	تاق‌های بنایی	
۰/۴۶۰	۰/۶۵۰	۰/۷۷۶	۰/۹۵۳	۱/۰۲۰	M3.3	دالهای چوبی مسلح	
۰/۵۰۰	۰/۵۰	۰/۶۰۰	۰/۹۱۰	۱/۰۲۰	RC3.2	بتن آرمه با قاب‌های نامنظم	
۰/۶۰	۰/۱۲۷	۰/۵۲۲	۰/۸۸۰	۱/۰۲۰	S3	قاب فولادی و دیوارهای میانقابی بنایی غیرمسلح	شبکه مختلط فولادی و RC
۰/۱۴۰	۰/۳۳۰	۰/۴۸۴	۰/۶۴۰	۰/۸۶۰	S5		
-۰/۲۰	۰/۲۵۷	۰/۴۰۲	۰/۷۲۰	۱/۰۲۰			

جدول ۲ اصلاح‌کننده‌های رفتاری اتخاذ شده برای ساختمان‌های بتن آرمه و بنایی در این پژوهش به عنوان ساختمان‌های غالب شهر اردبیل، را نشان می‌دهند. اصلاح‌کننده‌ها و مقادیر و دامنه‌های ویژه‌شان بعد از تبادل نظر با متخصصان همچون معماران و مهندسان عمران صاحب‌نظر، تثبیت گردیدند. اصلاح‌کننده ناحیه‌ای به عنوان تابعی از قدمت ساختمان تعریف شده است و مقادیر بین ۰/۲۳۴ + برای ساختمان‌های ساخته شده پیش از سال ۱۳۷۲، و -۰/۰۸۸ - برای ساختمان‌های ساخته شده بعد از ۱۳۷۲ اختیار می‌کند. به دلیل این که اصلاح‌کننده رفتاری، نمایه آسیب‌پذیری ساختمان‌های بلندمرتبه ممکن است دارای فراوانی ۰/۰۸ + واحد و ساختمان‌های کم ارتفاع نیز دارای مقادیر حداقل ۰/۰۲ - واحد باشند، از اصلاح‌کننده مکانی می‌توان برای در نظر گرفتن تفاوت در ارتفاع نسبت به ساختمان‌های پیوسته و موقعیت نسبی درون بلوک استفاده کرد. از این نظر، سه موقعیت در نظر گرفته شده است: میانی، گوشه‌ای و نبش.

جدول (۲). اصلاح‌کننده‌های رفتاری مورد استفاده برای ساختمان‌های بتن آرمه و بنایی

عوامل رفتاری	پارامترها	محدوده
- ارتفاع یا تعداد طبقات	بنایی پایین (۱ یا ۲)، متوسط (۳، ۴، یا ۵) کم (≤ ۶)، بتن آرمه پایین (۱ یا ۲)، متوسط (۳، ۴، یا ۵) بلند (≥ ۶)	-۰/۰۲ +۰/۰۲ +۰/۰۶ -۰/۰۴ . +۰/۰۸
- میزان حفاظت	خوب بد	-۰/۰۴ +۰/۰۴
- بی‌نظمی‌های افقی	.....	+۰/۰۴
- بی‌نظمی‌های عمودی	.....	+۰/۰۲
- تعديل کننده مکانی:	میانی گوشه‌ای موقعیت نبش	-۰/۰۴ +۰/۰۴ +۰/۰۶
- تعديل کننده مکانی: ارتفاع	تفاوت در ارتفاع کمتر از ۲ طبقه تفاوت در ارتفاع طبقه و بیشتر	+۰/۰۲ -۰/۰۴ +۰/۰۴



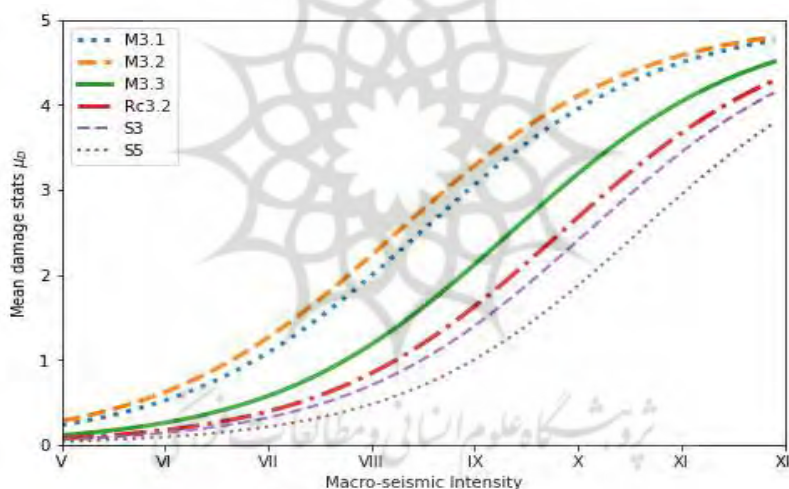
## آسیب فیزیکی

بعد از تکمیل ماتریس‌های احتمال آسیب (DPM)، اگر:  $p_j = P(j|I, VI)$  باشد، برای یک شدت مشخص،  $I$ ، و یک نمایه آسیب‌پذیری  $VI$ ، در این صورت میانگین درجه آسیب به شکل رابطه زیر تعریف می‌گردد (Lantada et al, 2018:7)

$$\mu_D(I, VI) = d * (I, VI) = \sum_{j=0}^5 j P(j|I, VI) = \sum_{j=0}^5 j P_j \quad \text{رابطه (۱).}$$

گیوینازی (12: 2005: Giovinazzi, 2005) یکتابع آسیب نیمه تجربی مرتبط با شدت مهلزهای ( $I$ )، نمایه آسیب‌پذیری ( $VI$ )، و میانگین درجه آسیب ( $\mu_D$ ) را تنظیم نموده است. معادله زیر این توابع آسیب را تعریف می‌کند:

$$\mu_D = d^* = 2.5 \left[ 1 + \tanh \left( \frac{I + 6.25V_I + 13.1}{2.3} \right) \right] \quad \text{رابطه (۲).}$$



شکل (۱). چند نمونه از این تابع را برای انواع ساختمان‌های شهر اردبیل نشان می‌دهد (جدول ۱).

شکل (۱). توابع آسیب نیمه تجربی برای انواع ساختمان‌های شهر اردبیل که با استفاده از رابطه ۲ ترسیم گردیده است. برای ترسیم این منحنی، مقدار مرکزی (BTMVI\*), محتمل‌ترین نمایه آسیب‌پذیری، مورد استفاده قرار گرفته است.

از آنجایی که میانگین درجه آسیب شناخته شده است، DPM را می‌توان با استفاده از فرض توزیع آماری دوجمله‌ای بازیابی نمود. با این حال، برای اهداف روش‌شناختی، و برای جلوگیری از ماهیت گسسته توزیع دوجمله‌ای، توزیع احتمالی پیوسته بتا ترجیح داده شد. پارامترهای بتا به گونه‌ای حاصل گردیدند که توزیع بتا متناسب با توزیع دوجمله‌ای باشد. تابع چگالی احتمالی (pdf) توسط معادله زیر به دست آمده است:

$$\mu_D = d^* = 2.5 \left[ 1 + \tanh \left( \frac{I + 6.25V_I + 13.1}{2.3} \right) \right] \quad \text{رابطه (۳).}$$



در این معادله (۱)  $\Gamma$  تابع گاما است،  $x$  متغیر مستقل است، و مقادیر بین  $a$  و  $b$  را اختیار می‌کند که دامنه عملکرد pdf را تعريف می‌کند، و  $t$  و  $q$  پارامترهای توزیع بتا هستند. مربوط به پراکنده‌گی توزیع است. مقدار  $t = 8$  باعث می‌شود که توزیع بتا با توزیع دوجمله‌ای سازگار باشد.  $a$  و  $b$  که به درجات آسیب مربوط می‌گردد، بر اساس  $a = 0$  و  $b = 5$  تعیین می‌شوند، زیرا ۵ درجه آسیب غیر تهی در نظر گرفته شده است. در پایان، معادله زیر میانگین درجه آسیب  $\mu_D$  و پارامترهای  $q$  و  $t$  توزیع بتا را پیوند می‌دهد Milutinovic and (Trendafiloski, 2003: 18).

$$q = t(0.007\mu_D^3 - 0.052\mu_D^2 + 0.2875\mu_D) \quad \text{رابطه (۴).}$$

احتمال،  $(x) P_\beta$ ، که در آن مقدار آسیب کمتر یا برابر با  $x$  است بهوسیله انتگرال بین  $a$  و  $x$  تعريف شده در معادله (۱) تعیین می‌گردد؛ به این معنا که:

$$P_\beta(x) = \int_a^x P_\beta(\varepsilon) d\varepsilon \quad \text{رابطه (۵).}$$

و به این ترتیب، احتمال درجه آسیب،  $k = 0, \dots, 5$  را می‌توان با استفاده از معادله زیر بدست آورد:

$$P_k = P_\beta(k+1) - P_\beta(k) \quad k = 0, \dots, 5 \quad \text{رابطه (۶).}$$

بنابراین، برای هر ساختمان، که بهوسیله نمایه آسیب‌پذیری آن، VI، و برای هر سناریوی زمین‌لرزه، که با استفاده از شدت مهلزه ای EMS-98، I، تعريف شده است، از معادله (۲) می‌توان برای به دست آوردن میانگین درجه آسیب،  $\mu_D$  و معادله‌های (۳) و (۶) برای به دست آوردن DPM ویژه، استفاده نمود، یعنی احتمالات هر درجه آسیب . (Lantada et al, 2018:9)

### آسیب به جمعیت

با توجه به نوع ساختمان و فهرستی از تلفات، کوبورن و اسپنس (Coburn and Spence, 1992: 350, 2002: 365) تعداد مربوط به تلفات (KS) را به صورت زیر مدل‌سازی نموده‌اند:

$$K_S = C \cdot [M_1 \cdot M_2 \cdot M_3 \cdot (M_4 + M_5 \cdot (1 - M_4))] \quad \text{رابطه (۷).}$$

که در آن  $C$  تعداد ساختمان‌های فروریخته است. برای اهداف برآورد تلفات، قابل درک است که آسیب کامل مربوط به درجه ۴، بسیارشده، و درجه ۵، ویران، به گونه‌ای است که احتمال مورد استفاده برای برآورد تعداد ساختمان‌های ویران شده، مجموع احتمالات آسیب درجات ۴ و ۵ است. سپس برای هر ساختمان  $M_1$  تعداد ساکنان،  $M_2$  نرخ اشغال و  $M_3$  درصدی از ساکنان ساختمان است که به دلیل فروریختگی آن به دام افتاده‌اند. بنابراین، حاصل  $M_1 \cdot M_2 \cdot M_3$  تعداد افرادی است که در اثر زمین‌لرزه در ساختمان آسیب‌دیده گرفتار شده‌اند. در پایان،  $M_4$  و  $M_5$  پارامترهای مورد استفاده برای ارزیابی پراکنش فهرستی از تلفات هستند. برای هر دسته از تلفات،  $M_4$  درصد افراد گرفتار شده‌ای را به دست می‌دهد که متحمل هر نوع آسیب گردیده‌اند.  $M_5$  فقط در مورد افراد متوفی مقادیر غیر از صفر را در نظر می‌گیرد. در این حالت،  $M_4$  تعداد کشته شدگان ناشی از فروریختگی ساختمان را به طور مستقیم نشان می‌دهد و  $M_5$  نیز امکان مرگ‌ومیر پس از هر زمین‌لرزه را می‌پذیرد.

### جدول (۳). مقادیر انتخابی برای پارامترهای معادله ۶

پارامترهای موردنیاز برای برآورد تلفات انسانی							M4 (%)	گونه‌شناسی ساختمان
M5 (%)	آسیب‌دیدگی‌هایی که مستلزم آسیب‌دیدگی‌های مرگ و میر بستره شدن در بیمارستان شدید هستند	آسیب‌دیدگی‌هایی که مستلزم آسیب‌دیدگی‌های مرگ و میر بستره شدن در بیمارستان شدید هستند	آسیب‌دیدگی‌هایی که مستلزم آسیب‌دیدگی‌های مرگ و میر بستره شدن در بیمارستان شدید هستند	M3 (%)	M2 (%)			
۶۰	۱۵	۲۵	۳۰	۳۰	۵	۸۰	بنایی تقویت نشده	
۹۰	۴۰	۴۰	۴۰	۱۰	۵۰	۸۰	بتن آرمه	

برای ساختمان‌های بنایی و بتن آرمه، مقادیر (جدول ۳) بر اساس پیشنهادهای واکارنو و همکاران ۱۲: Vacareanu et al, 2004: ۳۵۲) که در طول شب یکی از روزهای هفته رخ داده است، با پیش‌فرض همزمانی با بیشترین نرخ اشغال ساختمان‌های مسکونی. علاوه بر تعداد افراد فوتی ممکن یا متحمل انواع مختلفی از جراحات، جنبه مهم دیگر یک خطر تعداد افرادی است که خانه‌های خود را از دست می‌دهند. در این مطالعه مدل پیشنهادی (Coburn and Spence, 2002: ۳۷۰)، هنگامی که درجات آسیب ساختمان برابر یا بیشتر از ۳ باشد (آسیب سنگین یا شدید) به عنوان غیرقابل سکونت مدنظر قرار گرفته است. تعداد افراد بی خانمان در یک ساختمان  $i$  با گونه‌شناسی  $t$  (Nphit) به شرح زیر است:

$$Nph_{it} = Npv_{it} \cdot Nviv_{it} [0.9P_{it}(\text{Severe}) + P_{it}(\text{Complete})] \quad \text{رابطه (۸).}$$

که در آن  $Npvit$  تعداد افراد ساکن در ساختمان  $i$  با گونه‌شناسی  $t$  است،  $Nvivit$  تعداد مساکن در ساختمان است و  $Pit$  (شدید) و  $Pit$  (کامل) به ترتیب احتمالات حالت‌های آسیب شدید و کامل را نشان می‌دهند. بنابراین، مقدار  $[0.9 Pit + NVIVit]$  (شدید) +  $(کامل)]$  تعداد مساکن در ساختمان  $i$  نوع  $t$  را تعریف می‌کند که غیرقابل استفاده شده‌اند. در این مدل، تنها چهار حالت آسیب در نظر گرفته شده است، زیرا در معادله (۲) درجه ۳، درجه آسیب شدید، به ۳، حالت آسیب سنگین و درجات آسیب ۴، بسیار سنگین و ۵، ویران، در درجه جدید ۴، درجه آسیب کامل، طبقه‌بندی شده‌اند.

### هزینه اقتصادی

برای ساختمان (j) از نوع (t)، پارامترهای درگیر در ارزیابی احتمال هزینه تعمیر اقتصادی به شرح زیر است: (۱) هزینه  $Vct$  واحد منطقه آسیب دیده، که برای همه ساختمان‌ها از یک نوع (t) یکسان فرض می‌گردد؛ و (۲) تعداد متر مربع برای تعمیر یا تعویض. به نوبه خود، تعداد متر مربع قابل تعویض برای هر درجه یا حالت آسیب به مجموع تعداد متر مربع ساختمان (Areajt)، احتمال وضعیت خسارت ( $Pjtk$ ) و متر معادل آن در هزینه تعمیر هر درجه آسیب (RCtk) بستگی دارد. بدیهی است که باید سهم همه حالت‌های آسیب به یکدیگر اضافه گردد. علاوه بر این، هنگامی که برای تعداد زیادی از ساختمان‌ها استفاده می‌شود، این اعداد باید برای کلیه ساختمان‌ها (j) از هر نوع، و برای تمامی انواع (t) ساختمان‌ها جمع گردد، که خروجی آن مدل ارزیابی زیر است:

$$cost = \sum_{t=1}^{Nt} \left\{ Vct \sum_{j=1}^{Net} \left[ Areajt \sum_{k=1}^{Ns} Pjtk \cdot RCtk \right] \right\} \quad \text{رابطه (۹).}$$

که در آن  $RCtk$  هزینه خسارت ناشی از درجه آسیب  $k$  در ساختمان‌های نوع  $t$  است و به عنوان درصد هزینه واحد  $m2$  تعریف می‌گردد.  $Pjtk$  احتمال وضعیت آسیب  $k$  در ساختمان  $j$  از نوع  $t$  است و از ماتریس احتمال آسیب مربوطه به دست می‌آید.  $Ns$  تعداد حالت‌های آسیب وضعیت آسیب صفر است.  $Areajt$  مساحت ساخته شده بر حسب متر مربع ساختمان  $j$  از نوع  $t$  است.  $Nt$  تعداد ساختمان‌های نوع  $t$  است و  $Vct$  هزینه برآورده شده بر حسب متر مربع برای ساختمان‌های نوع  $t$  است. مقدار  $Vct$  باید نزدیک به هزینه‌های واقعی مواد و نیروی کار مورد نیاز برای بازیابی املاک آسیب دیده باشد، اما  $Vct$  قیمت زمین را شامل نمی‌شود. سرانجام،  $Nt$  تعداد



نوع ساختمان‌هایی است که در مدل BTM در نظر گرفته شده است. این رابطه مبتنی بر گزارش ۱۳-ATC-۱۹۸۵ است. در این مدل فرض بر این است که مقدار محتویات ساختمان‌های مسکونی  $50\%$  هزینه تعویض ساختمان است. کل هزینه‌های خسارت مستقیم اقتصادی (Tcost) عبارت است از مجموع هر دو مقادیر، یعنی  $1/5$  برابر ارزش به دست آمده در معادله (۳).

### آوار حاصله از تخریب بنها

در برآورد حجم آوار تولید شده هر دو روش HAZUS 99 (FEMA / NIBS, 2002: 87) و دستورالعمل‌های مربوط به پروژه Vacareanu et al, 2004: 15 Risk-UE (آهمیت و کارآمدی ویژه‌ای دارد. این برآورد به ویژه در مناطق قدیمی و کمبودخوردار که در آن تراکم بالایی از بافت شهری، خیابان‌ها و معابر اصلی باریک وجود دارد، کارآمد است. حجم آوارهای بجامانده از یک ساختمان مواجه با زمین‌لزه، تابعی از میزان آسیب متحمل شده، است. بنابراین، برای یک ساختمان (j) از نوع (t)، برای هر نوع آوار (e) و هر درجه آسیب (k)، سهم حجم آوار توسط معادله زیر به دست می‌آید:

$$D_{ejtk} = A_{jt} \cdot W_{et} \cdot F_{etk} \quad \text{رابطه (۱۰).}$$

که در آن  $D_{ejtk}$  سهم وزن کل آوار نوع e حاصله از ساختمان j از نوع t است، وقتی که ساختمان دارای درجه آسیب K; Ait مساحت ساخته شده ساختمان j از نوع t است و  $W_{et}$  واحد وزن (تن/متر مربع) نوع مصالح برای نوع ساختمان t است.  $F_{etk}$  کسری از واحد وزن است که ویرانی را برای این نوع آوار e، برای این نوع ساختمان t زمانی که ساختمان دارای درجه آسیب k باشد اتفاق می‌افتد، بدست می‌دهد. برای یک سناریوی لزه‌ای، فراوانی آوارها از حاصلضرب بین این مقدار  $D_{ejtk}$  و احتمال این که ساختمان j از نوع t متحمل درجه آسیب (Pjtk) K گردد.

$$Es_{total} = \sum_{t=1}^{Nt} \left( \sum_{j=1}^{Net} \left[ \sum_{e=1}^{Nd} \left[ \sum_{k=0}^{Ns} Area_{jt} \cdot W_{et} \cdot F_{etk} \cdot P_{jtk} \right] \right] \right) \quad \text{رابطه (۱۱).}$$

که در آن نمایه k نشانگر حالت‌های مختلف خسارت بین صفر و کامل (Ns)؛ e بیانگر انواع آوارها بوده و از ۱ تا تعداد Nd انواع آوارها متغیر است؛ j برای تعداد ساختمان‌های با گونه‌شناسی t در نظر گرفته شده و از ۱ تا تعداد ساختمان‌های با گونه‌شناسی Net t، Net متفاوت است؛ و t نیز شامل گونه‌شناسی‌های مختلف بین ۱ و تعدادی از گونه‌شناسی‌های مختلف، Net، است. در این رابطه دو نوع ساختمان و دو نوع آوار در نظر گرفته شده است. مقادیر پارامترها در معادلات ۱۰ و ۱۱ از واکارنو و همکاران (Vacareanu et al, 2004: 16) گرفته شده است، که خود جزئی از مدل HAZUS 99 (FEMA / NIBS 2002: 88) است.

### جدول (۴). ویژگی‌های کلی کالبدی شهر اردبیل.

میانگین سال ساخت	نسبت ساخته شده به کل منطقه %	ساختمن‌های مسکونی						تراکم جمعیت	تعداد ساکنین	تعداد ساکنین در هر هكتار مسکونی	ساکنین/ مترمربع	بافت‌های فرسوده
		مساحت ساخته شده	M2هند	واحد مسکونی	تعداد ساختمان	تعداد ساکنین در هر هكتار مسکونی						
۲۰	۰/۲۰	۲۷۸۵۰	۳۹۹	۳۹۹	۳۴۵	۳۴۵	-/-۳	۴۹۳۸	چجن			
۱۴	۰/۰۶	۸۵۰	۴۰	۴۰	۱۶۷	۱۶۷	-/-۲	۲۳۱۷	ملایاشی			
۲۶	۰/-۰۵	۶۳۶	۲۵	۳۵	۴۷۶	۴۷۶	-/-۰۵	۵۹۴۵	هاشم‌آباد و جمشید‌آباد			
۲۴	۰/-۰۹	۲۸۰	۱۱	۱۱	۵۵۷	۵۵۷	-/-۰۶	۱۶۴۷	کوی شریعتی			
۲۳	۰/-۰۱	۵۸۰	۳۵	۳۵	۱۸۰	۱۸۰	-/-۰۲	۷۱۹۶	تیار			
۲۱	۰/۱۱	۲۴۵۵	۱۹۴	۱۹۴	۳۷۰	۳۷۰	-/-۰۴	۳۹۵	ابراهیم‌آباد			
۲۲	۰/-۰۳	۲۴۷۵	۱۶	۱۶	۴۵۴	۴۵۴	-/-۰۴	۶۲۱۳	بهارآباد			
۲۰	۰/-۰۴	۱۰۱۷۵	۸۹	۸۹	۲۸۶	۲۸۶	-/-۰۳	۳۰۱۶	پیر مادر			
۱۷	۰/-۰۶	۱۴۴۵	۶۶	۶۶	۵۸۸	۵۸۸	-/-۰۶	۵۲۱۷	ابوالطالب			
۲۴	۰/-۰۶	۲۴۷۵	۲۳	۲۳	۶۲۴	۶۲۴	-/-۰۶	۳۰۲۸	ملاپیوف			
۱۹	۰/-۰۹	۸۵۷۵	۴۶	۴۶	۵۰۰	۵۰۰	-/-۰۵	۱۶۴۴	تازه شهر			
۲۲	۰/۱۲	۱۸۵۵۰	۸۵	۸۵	۵۲۶	۵۲۶	-/-۰۷	۷۸۵۸	گلمغان			
۲۵	۰/-۰۴	۲۴۵	۲۱	۲۱	۶۶۵	۶۶۵	-/-۰۸	۳۶۹۵	موسی کاظم			
۱۷	۰/-۲۲	۴۱۳۰۰	۳۱۷	۳۱۷	۸۱۳	۸۱۳	-/-۰۵	۱۰۶۷۲	کاظم‌آباد و سلمان آباد			
۲۰	۰/-۰۶	۷۲۵۰	۲۹	۲۹	۲۷۰	۲۷۰	-/-۰۳	۳۴۲۴	کلخوان			
										مجموع		
										۱۴۰۶		
										۷۰۰۳۵		



## نتایج و بحث

### سناریوهای زمین‌لرزه

بر اساس اطلاعات نقشه خطر لزه‌ای ایران (توكلی و غفوری آشتیانی، ۱۳۷۸) دشت اردبیل و شهرستان اردبیل به عنوان بخشی از این دشت هموار در منطقه با خطر نسبی بالا قرار گرفته است. علاوه بر این با توجه به پهنه‌بندی a/b-Value (ضرایب لرزه‌خیزی در رابطه گوتبرگ-ریشر (M) بر اساس نگاشت‌های دستگاهی سده بیستم تا عصر حاضر) در گستره ایران، دشت اردبیل و محدوده‌های پیرامونی آن در دامنه ۶/۵-۶ (گستره‌ای با توان لرزه‌زائی بالا) قرار دارد (بیتل‌هی و رزاقیان، ۱۳۹۷: ۷۶). از طرف دیگر با توجه به برداشت‌های میدانی و تراشنه‌ها و گمانه‌های موجود شهر اردبیل بر روی نهشته‌های دریاچه‌ای پلیو-کواترنری با بیشینه ستبای ۲۰۰ متری و همچنین نهشته‌های مخروط‌افکنه‌ای و تراس‌های رودخانه‌ای کواترنری (از جمله شهرک‌های ساحلی و اداری کارشناسان و تمامی بناهای ساخته شده در امتداد رودخانه بالیقلوچای از خیابان معلم تا شهرک زرناص) استقرار یافته است. این نهشته‌های نرم دریاچه‌ای و رودخانه‌ای در مجموع شهر را علاوه بر آسیب‌پذیری مستقیم در برابر خطر زمین‌لرزه برای پدیده‌های ثانوی آن همچون روانگرایی مستعد ساخته است.

آین نامه لزه‌ای کشور (۱۳۹۳، ویرایش ۴) برای تخمین شتاب‌های پایه (ab) و دوره‌های بازگشت (RT) مربوط به شدت تعیین شده مهلزه‌ای استفاده می‌شود. برای پیدا کردن شتاب پایه مربوط به سناریوهای لزه‌ای در نظر گرفته شده، از معادله زیر، (NCSE-94، ۱۹۹۴) استفاده شد:

$$\log_{10} ab = 0.301030 I - 0.2321 \quad .\text{ رابطه (۱۲)}$$

که در آن ab شتاب پایه است، که معمولاً به عنوان شتاب اوج موثر نیز شناخته می‌شود، و I نیز شدت EMS-98 مهلزه است. بر اساس معادله (۱۲)، ارزش ab (شتاب پایه) ۰۰۴ g برای شهر اردبیل اختصاص داده شده، که منطبق با شدت مهلزه VII است. یعنی شهر در پهنه با خطر لزه‌ای متوسط تا بالا قرار دارد.

آین نامه ۲۸۰۰ شتاب‌های پایه را با دوره بازگشت ۴۷۵ سال برای همه شهرهای ایران تعیین کرده (g ۰۰۴ برای شهر اردبیل) و معادله زیر را برای محاسبه دوره‌های بازگشت شتاب‌های پایه دیگر پیشنهاد نموده است:

$$ab|_{PR=t} = ab|_{PR=500} \left[ \frac{t}{500} \right]^{0.37} \quad .\text{ رابطه (۱۳)}$$

که در آن t ab| PR=t شتاب پایه با دوره بازگشت t و ab| PR=500 شتاب پایه برای دوره بازگشت ۵۰۰ سال است.

جدول (۵). سناریوهای لزه‌ای بررسی شده، با توجه به شدت‌های مهلزه‌ای، شتاب پایه (g) ab و دوره‌های بازگشت (TR) بر حسب سال).

دوره‌های بازگشت	ab(g)	شدت زمین‌لرزه
۷۵	۰/۰۱۹	V
۱۷۵	۰/۰۲۷	V-VI
۵۰۰	۰/۰۴۰	VI
۱۱۳۰	۰/۰۵۴	VI-VII
۳۰۰۰	۰/۰۷۷	VII



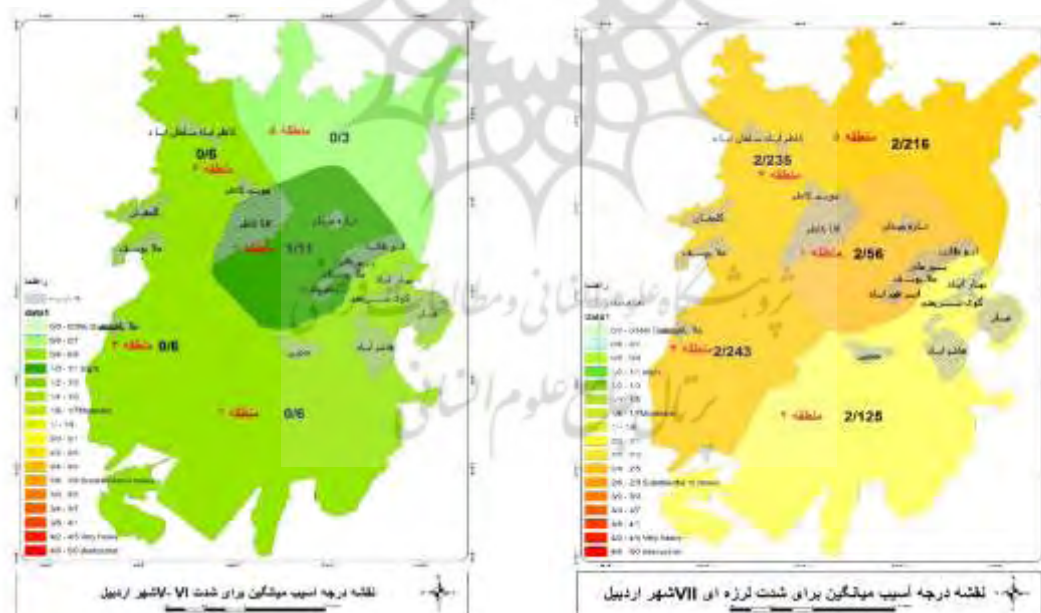
### جدول (۶). نمایه آسیب‌پذیری و میانگین درجه آسیب برای شدت‌های مختلف لرزه‌ای

منطقه	بافت‌های فرسوده	نمایه آسیب‌پذیری				
		شدت لرزه‌ای	VII	VI-VII	VI	V-VI
۱	ججین، هاشم‌آباد، پیرمادر جمشید‌آباد، کوی شریعتی، ابراهیم‌آباد، تازه‌شهر، ابوطالب	۰/۹۰۵	۰/۹۷۵	۱/۳۳۶	۲/۵۰۸	
۲	نیار، بهارآباد	۰/۶۵۰	۰/۸۱۵	۱/۵۲۹	۲/۸۷۱	
۳	ملایوسف، ملاپاشی، گلمغان، موسی کاظم	۰/۸۵۰	۰/۸۹۰	۱/۳۹۲	۲/۶۱۴	
۴	کاظم‌آباد، سلمان‌آباد	۰/۸۳۰	۰/۸۴۶	۱/۱۵۹	۱/۵۸۷	۲/۱۷۵
۵	کلخوران	۰/۵۸۰	۰/۷۸۸	۱/۰۷۹	۱/۴۸۷	۲/۰۶۲

معادلات (۶) و (۷) برای محاسبه شتاب‌های پایه و دوره‌های بازگشت مربوط به سناریوهای لرزه‌ای واکاوی شده استفاده گردیده است. جدول ۵ شدت مهلرزهای سناریوها در نظر گرفته شده، همراه با شتاب‌های پایه و دوره‌های بازگشت مربوطه را نشان می‌دهد. پس از انجام ارزیابی خطرپذیری لرزه‌ای کلیه سناریوهای زمین‌لرزه در جدول ۵، معنی‌داری و یا عدم معنی‌داری خسارت‌های مورد انتظار در بافت‌های فرسوده شهر اردبیل برای سناریوهای با شدت VII ارائه شده است. سپس، تنها نتایج به دست آمده برای چهار سناریوی زمین‌لرزه دیگر نشان داده شده است.

### آسیب‌پذیری و آسیب فیزیکی

آسیب‌پذیری ساختمان‌های واقع در بافت‌های فرسوده شهر اردبیل نشانگر ارزش متوسط ۵۹٪ برای ساختمان‌های بتنی و ۹۳٪ برای ساختمان‌های بنایی است که آسیب‌پذیرترین آن‌ها هستند.



شکل (۳). درجه آسیب میانگین برای شدت‌های لرزه‌ای V-VI و VII بافت‌های فرسوده شهر اردبیل

بنابراین پیش‌بینی می‌شود ساختمان‌های بنایی از درجه آسیب بیشتری برخوردار باشند. نمایه آسیب‌پذیری مناطق ۱ (۰/۹۵۰) و ۳ (۰/۸۵۰) نسبت به بقیه مناطق بیشتر است (عمدتاً به دلیل قدمت ساختمان‌ها). برای سناریوی شدت VII هر چند که تمامی مناطق دارای درجه آسیب اندکی بالاتر از ۲ (متوسط) هستند (جدول ۶) ولی درجه مناطق ۱ و ۳ نسبت به مناطق ۲، ۴ و ۵ اندکی بیشتر است که این امر حاکی از فراوانی‌های ۰.۲۷٪، ۰.۸٪ و ۰.۱٪ به ترتیب با وضعیت‌های سنگین، بسیار سنگین و ویرانی کامل است (شکل ۳).

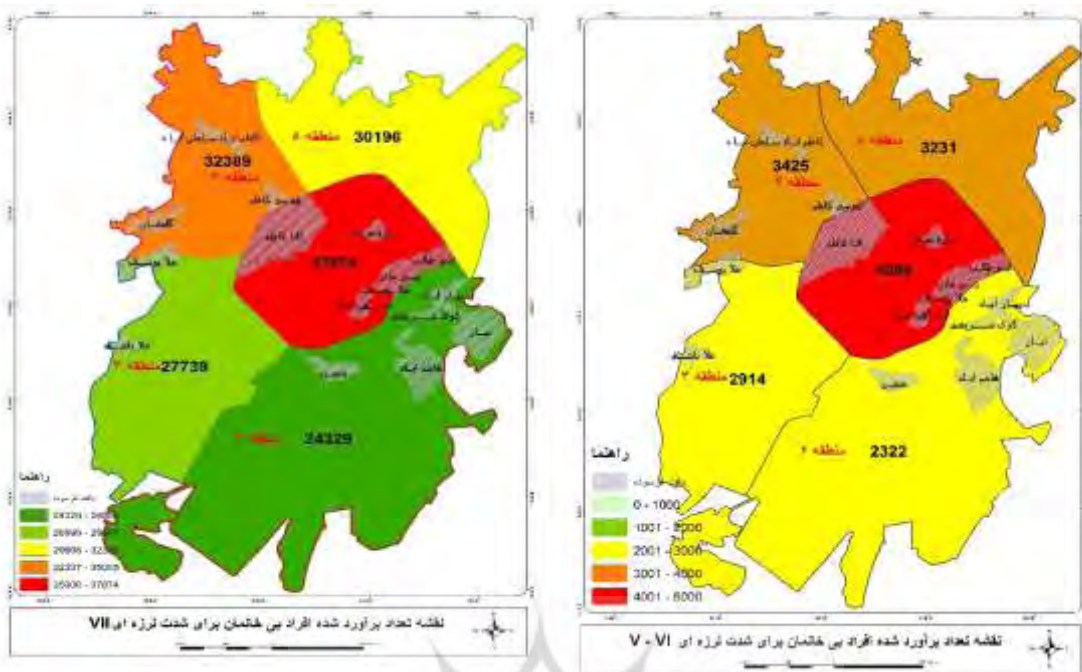
### آسیب به جمعیت

الگوی ذکر شده در بالا، براساس معادله (۱) به منظور تعیین تعداد افرادی زخمی، کشته و یا بی‌خانمان شده، برای هر ساختمان بطور مستقیم کاربرد دارد. همه این نتایج به زمین لرزه شب، با پیش‌فرض اشغال ۸۰٪ ساختمان‌ها توسط ساکنین، با استفاده از اطلاعات معتبر و به روز شده در مورد تعداد ساکنان در هر ساختمان که توسط شهرداری اردبیل برای بیش از ۹۶٪ ساختمان‌های شهر ارائه شده، مربوط می‌گردد. نتایج حاکی از تأثیر معنی‌دار بر جمعیت است. در سناریوی بدترین حالت یک زمین لرزه با شدت VII حدود سه در هزار نفر (۳٪) از مردم شهر می‌میرند و نه در هر هزار نفر (۰.۰۹٪) از مردم آسیب‌های مختلفی متحمل می‌شوند. این درصدها رقم قابل توجهی است که هزاران نفر را دربرمی‌گیرد.

جدول (۷). تعداد برآوردشده افراد بی‌خانمان (%) برای شدت‌های مختلف لرزه‌ای

VII	شدت لرزه‌ای				نمایه آسیب‌پذیری	بافت‌های فرسوده
	VII-VI	VI	V-VI			
۵۳۲	۲۹۸	۱۴۰	۵۶	۰/۶۵۰	ججین	
۱۰۶	۵۹	۲۸	۱۱	۰/۸۵۰	ملاپاشی	
۱۱۴	۶۴	۳۰	۱۲	۰/۶۵۰	هاشم‌آباد و جمشید‌آباد	
۳۹	۲۲	۱۰	۴	۰/۶۵۰	کوی شریعتی	
۱۱۵	۶۵	۳۱	۱۲	۰/۶۵۰	نیار	
۲۸۴	۱۵۹	۷۵	۳۰	۰/۹۰۵	ابراهیم‌آباد	
۵۲	۲۹	۱۴	۶	۰/۶۵۰	بهارآباد	
۴۳۴	۲۴۳	۱۱۴	۴۶	۰/۹۰۵	پیر مادر	
۲۸۲	۱۶۰	۷۶	۳۱	۰/۹۰۵	ابوطالب	
۳۸	۲۱	۱۰	۴	۰/۸۵۰	ملایوسف	
۱۳۴	۷۵	۳۵	۱۴	۰/۹۰۵	تازه شهر	
۱۶۰	۸۸	۴۱	۱۷	۰/۸۳۰	گلمغان	
۵۱	۲۸	۱۳	۵	۰/۸۳۰	موسی کاظم	
۸۴۲	۴۵۱	۲۰۶	۸۰	۰/۸۳۰	کاظم‌آباد و سلمان آباد	
۴۱	۲۲	۱۰	۴	۰/۵۸۰	کلخوران	
۳۲۲۴	۱۷۸۴	۸۳۳	۳۳۲		مجموع	

در سناریوی لرزه‌ای با شدت VII ، ۳۳۲ نفر از جمعیت بافت‌های فرسوده (معادل با نیم درصد جمعیت ۷۰۰۳۵ نفر کل بافت) و در سناریوی با شدت VII، ۳۲۲۴ نفر از جمعیت این بافت‌ها (معادل با ۵ درصد جمعیت کل بافت) بی‌خانمان می‌گردند (جدول ۷ و شکل ۴). منطقه‌ای که در همه موارد بیشتر تحت تأثیر قرار خواهد گرفت "منطقه یک به عنوان هسته اولیه و مرکزی شهر اردبیل" است.



شکل (۴). تعداد برآورده شده افراد بی‌خانمان برای شدت‌های VII و VI در مناطق پنجگانه و بافت‌های فرسوده شهر اردبیل

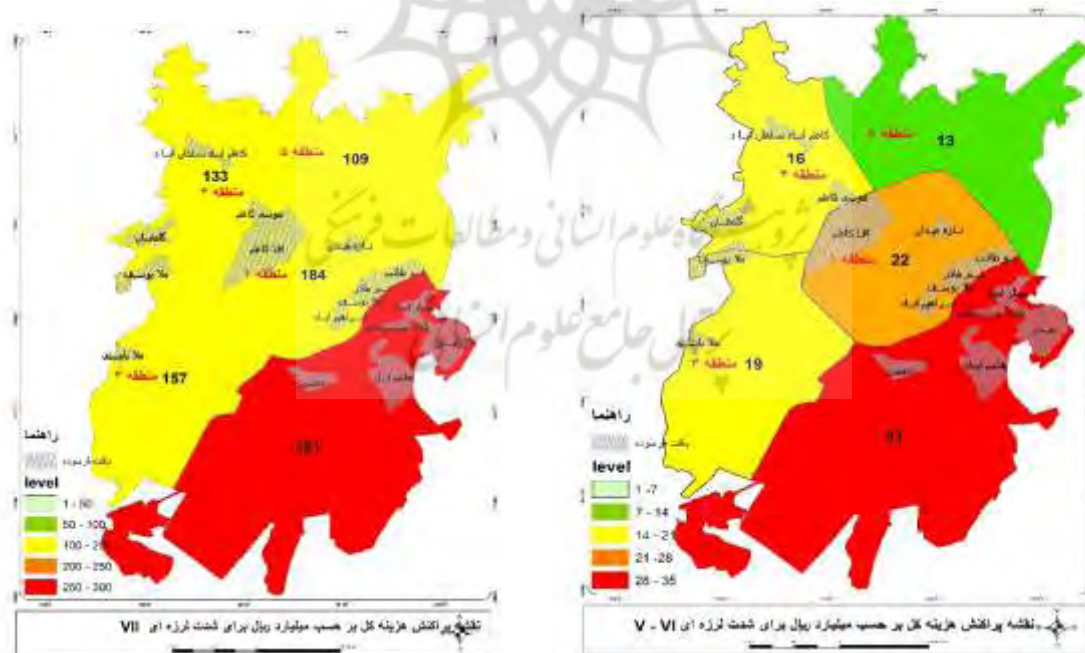
### هزینه اقتصادی

خسارات اقتصادی مستقیم ناشی از آسیب مستقیم فیزیکی به ساختمان‌ها طبق مدل تعریف شده در معادله (۹) به عنوان هزینه مرمت ساختمان‌های آسیب‌دیده برآورد شده است. ارزش تعمیر مربوط به شرط آسیب  $k$  برای یک ساختمان  $z$ ،  $RCK_z$ ، ز به عنوان یک درصد یا هزینه تغییر مکان ( $Vc$ ) به ازای هر مترمربع مشخص شده است (Lantada et al, 2010:210). در این مطالعه، مقدار اتخاذ شده برای  $Vc$  برابر است با ۴۷۷۳۳۰ ریال به ازای هر مترمربع. این مقدار مرجع برای یک ساختمان مسکونی با ساختار بتون آرمه و فولادی در نظر گرفته است (پس از اخذ نظر متخصصان و خبرگان نظام مهندسی ساختمان استان اردبیل). هزینه اقتصادی مورد انتظار برای مرمت و تعمیر ساختمان‌هایی که تخریب یا آسیب دیده‌اند، با توجه به سناریوی لزه‌ای در نظر گرفته شده متفاوت است. در حالی که زمین‌لزه‌ای با شدت VII نمی‌تواند خسارت قابل توجهی ایجاد کند، یک زمین‌لزه با شدت V-VI تقریباً ۷۹۸ میلیون ریال برای بافت‌های فرسوده شهر اردبیل هزینه دارد. از این شدت، هنگامی که شدت مهلکه‌ای به اندازه نیم درجه افزایش یابد، کل هزینه تلفات مستقیم اقتصادی (از جمله هزینه تعمیر ساختمان آسیب دیده و آسیب به محتويات) تا حدودی کمتر از دو برابر است (جدول ۸ و شکل ۵). در بین بافت‌های فرسوده پانزده‌گانه شهر اردبیل قابل ذکر است که بافت‌های فرسوده ججین، پیرمادر، کاظم‌آباد و سلمان‌آباد به دلیل غیررسمی بودن بخش از سکونتگاه‌های آن همراه با قدمت بالا، استفاده از مصالح نامقاوم با درصد بالایی از ساختمان‌های بنائی، بیشترین تأثیر اقتصادی را خواهد داشت، و هزینه تقریبی ۳۹۰۶ میلیون ریال برای سناریوی با شدت VII دربرخواهد داشت. علاوه بر این، کل هزینه این بافت‌ها به ۶۸۰۰ میلیون ریال خواهد رسید. با مقایسه بودجه کل ۵۲۶ میلیارد تومانی شهرداری اردبیل (۱۳۹۹) که تقریباً در خوش‌بینانه‌ترین حالت وصول ۵۵ درصد آن (معادل ۲۸۹ میلیارد تومان) تحقق می‌یابد<sup>۱</sup>، هزینه آسیب فیزیکی به ساختمان‌های این مناطق برای شدت VII (جدول ۸) به بیش از ۶/۸ میلیارد تومان می‌رسد که نزدیک به  $2/3$  درصد بودجه کل شهر (۱۳۹۹) خواهد بود.

۱. گفتگو با مسولان و مشاوران مالی شهرداری مرکزی اردبیل

جدول (۸). هزینه کل بر حسب میلیون ریال

شدت لرزه‌ای					بافت‌های فرسوده
VII	VI-VII	VI	V-VI	نمایه آسیب‌پذیری	
۱۳۹۹	۸۲۳	۴۱۲	۱۶۵	۰/۱۶۵۰	ججین
۲۰۲	۱۱۹	۵۹	۲۴	۰/۱۸۵۰	ملاباشی
۲۱۶	۱۲۷	۶۴	۲۵	۰/۱۶۵۰	هاشم‌آباد و جمشید‌آباد
۶۸	۴۰	۲۰	۸	۰/۱۶۵۰	کوی شریعتی
۱۳۴	۷۹	۳۹	۱۶	۰/۱۶۵۰	نیار
۶۹۴	۲۹۸	۲۰۴	۸۲	۰/۱۹۰۵	ابراهیم‌آباد
۱۰۴	۶۱	۳۱	۱۲	۰/۱۹۰۵	بهار‌آباد
۱۳۷۷	۸۱۰	۴۰۵	۱۶۲	۰/۱۹۰۵	پیر مادر
۴۰۹	۲۴۱	۱۲۰	۴۸	۰/۱۹۰۵	ابوطالب
۶۴	۳۳	۱۸	۷	۰/۱۸۵۰	ملایوسف
۲۴۳	۱۴۳	۷۱	۲۹	۰/۱۹۰۵	تازه شهر
۴۷۹	۲۸۲	۱۴۱	۵۴	۰/۱۸۳۰	گلمغان
۷۰	۴۱	۲۰	۸	۰/۱۸۳۰	موسی کاظم
۱۱۳۰	۶۶۵	۳۳۲	۱۳۳	۰/۱۸۳۰	کاظم‌آباد و سلمان‌آباد
۲۱۱	۱۲۵	۶۲	۲۵	۰/۱۸۰	کلخوران
۶۸۰۰	۳۸۸۷	۱۹۹۸	۷۹۸		مجموع



شکل (۵). پراکنش هزینه اقتصادی (هزینه کل) بر حسب میلیارد ریال برای شدت‌های لرزه‌ای VII و VI در بافت‌های فرسوده شهر اردبیل

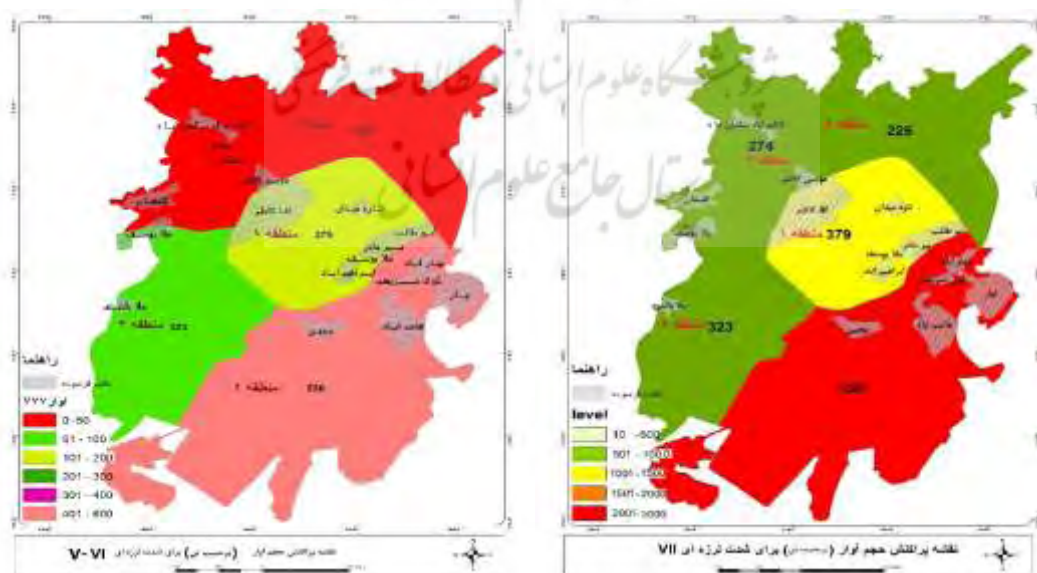


## آوار

بر اساس معادلات (۱۰) و (۱۱)، برای سناریوهای مورد واکاوی وزن کل آوار با استفاده از GIS برای این مطالعه شبیه‌سازی شده است. احتمال حالت‌های خسارت برای هر ساختمان از ماتریس‌های احتمال آسیب (DPM) مربوط به سناریوهای تحلیل شده، استفاده شده است. به دلیل احتمال کم آسیب، انتظار نمی‌رود که حجم قابل توجهی از آوار برای زمین‌لرزه‌های با شدت VII وجود داشته باشد. با این حال، در صورت وقوع زمین‌لرزه‌ای با شدت بالاتر، مقدار قابل توجهی آوار در شهر ایجاد می‌گردد، به عنوان مثال، تن برای زمین‌لرزه‌ای با شدت VII (جدول ۹ و شکل ۶). به طور کلی، بقایای مورد انتظار عمدتاً چوب، آهن و آجر است (بین ۵۰ تا ۶۹ درصد از کل حجم تولید شده با توجه به سناریوی در نظر گرفته شده)، و باقی مانده آن بتن و فولاد است. منطقه‌ای که بیشترین حجم آوار در آن انتظار می‌رود نیز مناطق ۱ و ۲ شهری است.

جدول(۹). آوار تولید شده بر حسب تن

شدت لرزه‌ای					نمایه آسیب‌پذیری	بافت‌های فرسوده
VII	VI-VII	VI	V-VI			
۲۸۷۹	۱۶۹۴	۸۴۷	۳۳۹	.۶۵۰	ججن	
۴۱۵	۲۴۴	۱۲۲	۴۹	.۸۵۰	ملاباشی	
۴۴۵	۲۶۲	۱۳۱	۵۲	.۶۵۰	هاشم‌آباد و جمشید‌آباد	
۱۴۰	۸۲	۴۱	۱۷	.۶۵۰	کوی شریعتی	
۲۷۵	۱۶۲	۸۱	۳۲	.۶۵۰	نیار	
۱۴۲۸	۶۱۳	۴۲۰	۱۶۸	.۹۰۵	ابراهیم‌آباد	
۲۱۴	۱۲۶	۶۳	۲۵	.۹۰۵	بهارآباد	
۲۸۳۳	۱۶۶۶	۸۳۹	۳۳۳	.۹۰۵	پیر مادر	
۸۴۱	۴۹۵	۲۴۷	۹۹	.۹۰۵	ابوطالب	
۱۳۱	۶۷	۳۸	۱۵	.۸۵۰	ملایوسف	
۴۹۹	۲۹۴	۱۴۷	۵۹	.۹۰۵	تازه شهر	
۹۸۵	۵۸۰	۲۹۰	۱۱۱	.۸۳۰	گلمغان	
۱۴۳	۸۴	۴۲	۱۷	.۸۳۰	موسی کاظم	
۲۲۲۵	۱۳۶۸	۶۸۴	۲۷۴	.۸۳۰	کاظم‌آباد و سلمان آباد	
۴۳۶	۲۵۷	۱۲۸	۵۱	.۸۰	کلخوران	
۱۳۹۸۹	۷۹۹۴	۴۱۲۰	۱۷۰۱			



شکل (۶). پراکنش حجم آوار (بر حسب تن) برای شدت‌های لرزه‌ای V-VI و VII در بافت‌های فرسوده شهر اردبیل



## نتیجه‌گیری

شهر اردبیل در پهنهٔ خطر لزهای متوسط تا زیاد قرار دارد که در هنجار لزهای کنونی کشور توسط یک زمین‌لزه مشخص باشد VII و شتاب پایه مربوط به آن  $0.04 \text{ g}$  شناسایی شده است. با این حال برای یک دوره بازگشت ۵۰۰ ساله، بر اساس داده‌های موجود و باکویی‌هایی که انجام شده است، می‌توان نتیجه گرفت که این ناحیه دارای خطر لزهای نسبتاً بالایی است که عمدتاً به دلیل اباحت زیاد جمعیت و ساختمان‌های قدیمی و آسیب‌پذیر است. آسیب‌پذیری ساختمان‌های مسکونی، عمدتاً به دلیل سال ساخت آن‌ها، و نیز به دلیل عدم دانش و آگاهی از خطر لزهای و عدم در نظر گرفتن اقدامات لزهای مورد انتظار در طراحی و ساخت ساختمان‌ها، زیاد است. این آسیب‌پذیری زیاد باعث آسیب دیدگی مستقیم فیزیکی قابل توجهی به ساختمان‌ها مخصوصاً بافت‌های فرسوده می‌شود، حتی برای زمین‌لزهایی با شدت کم، در نتیجه، آسیب فیزیکی مورد انتظار در مورد زمین‌لزه‌های متوسط قابل توجه است. انتظار نمی‌رود برای زمین‌لزه با شدت ۷، خسارت مربوطه چندان زیاد باشد، اما برای یک سناریوی با شدت VII، تمام مناطق پنجگانه و بافت‌های فرسوده واقع در داخل آن‌ها دچار سطحی از خسارت می‌شوند که کمی بالاتر از درجه آسیب ۲ (متوسط) است که به معنی فراوانی‌های  $\% ۲۷$  و  $\% ۱$  به ترتیب شامل خسارات‌های سنگین، بسیار سنگین و ویرانی کامل است. در نتیجه آسیب عمدت به ساختمان‌ها و تمرکز بالایی از جمعیت و فعالیت اقتصادی - اجتماعی، خسارات اقتصادی قابل توجه و آسیب به جمعیت نیز در صورت بروز زمین‌لزه‌های نسبتاً متوسط مورد انتظار است. در سناریوی بدترین حالت زمین‌لزه با شدت VII، تقریباً سه در هزار نفر از جمعیت منطقه می‌میرند و ۹ در هزار از جمعیت با شدت‌های مختلف آسیب می‌بینند. علاوه بر تعداد قابل توجهی از قربانیان و مجروحان که نیاز به توجه فوری دارند، تعداد افراد بی‌خانمان ( $30\%$  از جمعیت برای شدت VII) مدیریت اضطراری بعد از زمین‌لزه و بازیابی بعدی فعالیت‌های عادی اقتصادی-اجتماعی و فرهنگی شهر در میان مدت و طولانی مدت نکته حائز اهمیتی است. زمین‌لزه‌های اخیر که در مناطق پرجمعیت با خطر لزهای کم تا متوسط اتفاق افتداند، گواهی است بر این ادعا. پراکنش محلات با آسیب‌پذیری بالا در هسته مرکزی شهر یعنی مناطق یک (آفاکاظم-موسی‌کاظم، تازه میدان، ملایوسف، پیرمادر، ابوطالب، ابراهیم‌آباد) و دو (ججین، هاشم‌آباد، نیار، کوی شریعتی و بهارآباد)، به لحاظ قدمت بالای ساختمان‌ها، استفاده از مصالح نامقاوم، فرسودگی شدید، تراکم بالای جمعیت دیده می‌شود. علاوه بر این با توجه به پراکنش بافت‌های فرسوده در هر پنج منطقه شهری، لازم است تا امر مقاوم‌سازی و بهسازی لزهای در راستای کاهش خطر در برابر زمین‌لزه مدنظر قرار گیرد.

زمین‌لزه‌ای با شدت VI-VII تقریباً ۷۹۸ میلیون ریال و با شدت VII برابر با  $6800$  میلیون ریال برای بافت‌های فرسوده شهر اردبیل هزینه خواهد داشت. در بین محلات بافت‌های فرسوده با توجه به تأثیر یک بحران لزهای در معابر و شریان‌های ارتباطی کم عرض و ناموزون، حجم قابل توجهی از تولید آوارهای مورد انتظار وجود دارد (برای سناریوهای V-VI و VII، به ترتیب بین ۱۷۰۱ تا ۱۳۹۸۹ تن). به دلیل اثرات ترکیبی حجم زیادی از آوارهای تولید شده و الگوی شهری از معاشر باریک و نامنظم، هر گونه جابجایی با مشکلات متعددی روبرو خواهد شد. در سناریوی لزهای با شدت V-VI،  $332$  نفر از جمعیت بافت‌های فرسوده (معادل با نیم درصد جمعیت  $70035$  نفر کل بافت) و در سناریوی با شدت VII،  $3224$  نفر از جمعیت این بافت‌ها (معادل با  $5$  درصد جمعیت کل بافت) بی‌خانمان می‌گردد. این نتیجه‌گیری با یافته‌های لطفی و همکاران (۱۳۹۳) و همچنین اسفندیاری و همکاران (۱۳۹۳) مبنی بر آسیب‌پذیری بالای بافت‌های فرسوده شهر اردبیل از پدیده زمین‌لزه ناشی از فعالیت گسل‌های پیرامونی از جمله گسل دوبیل و علاوه بر این با یافته‌های لانتادا و همکاران (۲۰۱۸) در بافت‌های قدیمی بارسلون اسپانیا همخوانی دارد. بنابراین، تنها راهکار برای کاهش خطر لزهای با رویکرد کاهش آسیب‌پذیری از طریق اعمال و لحاظ دستورالعمل‌های لزهای و افزایش آگاهی مردم به این امور امکان‌پذیر است.



## منابع

- اسفندیاری، فریبا، غفاری گیلاند، عطا، لطفی، خداد (۱۳۹۳)، بررسی توان لرزه‌زایی گسل‌ها و برآورد تلفات انسانی ناشی از زلزله در مناطق شهری (مطالعه موردي: شهر اردبیل، فصلنامه پژوهش‌های ژئومورفولوژی کمی، سال دوم، شماره ۴، صص ۳۶-۱۷).
- بیت‌اللهی، علی و غزاله رزاقیان (۱۳۹۷)، پهنه‌بندی گستره ایران بر اساس تغییرات نسبت ضرایب لرزه‌خیزی a/b، مجله زمین‌شناسی کاربردی پیشرفت، شماره ۲۹، صص ۸۳-۷۵.
- توکلی، بهروز و محسن غفوری آشتیانی (۱۳۷۸)، نقشه خطر لزهای ایران، موسسه بین‌المللی زلزله‌شناسی و مهندسی زلزله، مقیاس: ۱:۵,۰۰۰,۰۰۰، تهران، چاپ نخست.
- حبیبی، کیومرث، عزتی، محمد، ترابی، کمال و بختیار عزت‌پناه (۱۳۹۵)، بررسی آسیب‌پذیری شهرها در برابر زلزله با استفاده از مدل MIHWP (مطالعه موردي منطقه ۱۰ تبریز)، نشریه علمی جغرافیا و برنامه‌ریزی، سال ۲۰، شماره ۷۲ (زمستان)، صص ۳۵۶-۳۱۹.
- دربان آستانه، علیرضا و مصطفی هرائینی (۱۳۹۸)، تحلیل فضایی تاب‌آوری اجتماعی، اقتصادی اجتماعات محلی در برابر زلزله (مطالعه موردي: بخش آفت‌تاب - شهرستان تهران)، نشریه علمی جغرافیا و برنامه‌ریزی، سال ۲۳، شماره ۶۸ (تابستان)، صص ۱۱۱-۹۱.
- صمدزاده، رسول، خیام، مقصود، حسینی امینی، حسن (۱۳۸۹)، نگرشی نو بر تکامل ژئومورفولوژیکی چاله زمین‌ساختی اردبیل با رویکرد آمایش سرزمین، فصلنامه علمی پژوهشی جغرافیا و برنامه‌ریزی محیطی، دانشگاه اصفهان، ۱(۲۱)، صص ۱۰۵-۱۳۰.
- قنبری، ابوالفضل (۱۳۹۹)، ارزیابی ارتباط بین تاب‌آوری منطقه‌ای و آسیب‌پذیری محیطی در منطقه کرانه شرقی دریاچه ارومیه با استفاده GIS، نشریه علمی جغرافیا و برنامه‌ریزی، سال ۲۴، شماره ۷۲ (تابستان)، صص ۳۵۶-۳۱۹.
- لطفی، خداد، غفاری گیلاند، عطا، اسفندیاری، فریبا (۱۳۹۳)، ارزیابی آسیب‌پذیری شهرها از گسل‌های پیرامونی با استفاده از روش TOPSIS در محیط GIS (مطالعه موردي: شهر اردبیل)، مجله مخاطرات محیط طبیعی، سال سوم، شماره ۴، صص ۳۳-۱۷.
- مرکز تحقیقات راه، مسکن و شهرسازی (۱۳۹۳)، آینین‌نامه طراحی ساختمان‌ها در برابر زلزله، استاندارد ۲۸۰۰ (ویرایش چهار)، نشریه شماره ۳-۲۵۳.
- ATC-13., (1985), Earthquake damage evaluation data for California. ATC-13, 492. Redwood City, California: Applied Technology Council, 121p.
- Basaglia, A., Aprile, A., Spaccone, E and F., Pilla., (2018), Performance-based seismic risk assessment of urban systems. International Journal of Architectural Heritage, 12 (7-8): 1131-1149, Doi: 10.1080/15583058.2018.1503371.
- Ciurean-Roxana, L., Schröter, D., and Glade, T., (2013), Conceptual Frameworks of Vulnerability Assessments for Natural Disasters Reduction, licensee Intech, pp. 1-23. (<http://creativecommons.org/licenses/by/3.0/>).
- Coburn, A., and Spence, R., (1992), Earthquake Protection, Chichester, England: John Wiley & Sons, 355p.
- Coburn, A., and Spence, R., (2002), Earthquake Protection, Chichester, England: John Wiley & Sons, 2nd Ed 436p.
- FEMA/NIBS., (2002), HAZUS Technical Manual -SR2. Washington D.C.: Federal Emergency Management Agency, FEMA and National Institute of Building Sciences, NIBS.1, 2, 3.
- Ferlito, R., and Pizz, A., G., (2011), Vulnerability Model of an urban centre. Methodology for a Quick Evaluation of Emergency Road Network Vulnerability 28 (4):31-49.

- Jiménez, B., Pelà, L., & Hurtado, M., (2018), Building survey forms for heterogeneous urban areas in seismically hazardous zones. Application to the historical center of Valparaíso, Chil, International Journal of Architectural Heritage, PP. 1-36. DOI: 10.1080/15583058.2018.1503370
- Giovinazzi, S., (2005), The vulnerability assessment and the damage Scenario in seismic risk analysis. PhD dissertation, The Department of Civil Engineering of the Technical University Carolo-Wilhelmina at Braunschweig and the Faculty of Engineering Department of Civil Engineering of the University of Florence. Accessed October 11, 2017. [https://publikationsserver.tu-braunschweig.de/receive/dbbs\\_mods\\_00001757](https://publikationsserver.tu-braunschweig.de/receive/dbbs_mods_00001757).
- Giovinazzi, S., and Lagomarsino, S., (2002), WP04: Guidelines for the implementation of the 1 level methodology for the vulnerability assessment of current buildings. Risk-UE report, Genoa, Italy doi: 10.1044/1059-0889(2002/er01).
- σ Grünthal, G., Ed., (1998), European Macroseismic Scale 1998. Vol. 15. Luxemburg: Centre Européen de Géodynamique et Séismologie, Cahiers du Centre Européen de Géodynamique et de Séismologie.
- Lagomarsino, S., and Giovinazzi, S., (2006), Macroseismic and mechanical models for the vulnerability and damage assessment of current buildings. Bulletin of Earthquake Engineering 4 (4):415–43. Doi: 10.1007/s10518-006-9024-z.
- Lantada, N., (2007), Evaluación del riesgo sísmico mediante métodos avanzados y técnicas GIS. Aplicación a la ciudad de Barcelona. Tesis Doctoral, Universidad Politécnica de Cataluña, Dpto. De Ingeniería del terreno cartográficay geofísica. <http://www.tdx.cat/handle/10803/6259>.
- Lantada, N., Pujades, L., G., & Barbat, A., H., (2018), Earthquake Risk Scenarios in Urban Areas: A Review with Applications to the Ciutat Vella District in Barcelona, Spain, International Journal of Architectural Heritage, DOI: 10.1080/15583058.2018.1503367. <https://doi.org/10.1080/15583058.2018.1503367>
- Lantada, N., rizarry, I., J., Barbat, A., H., Goula, X., Roca, A., Susagna, T., and Pujades, L. G., (2010), Seismic hazard and risk scenarios for Barcelona, Spain, using the Risk-UE vulnerability index method. Bulletin Earthquake Engineering 8:201–29. Doi: 10.1007/s10518-009-9148-z.
- Lestuzzi, P., Podestà, S., Luchini, C., Garofano, A., KazantzidouFirtinidou, D., Bozzano, C., Bischof, P., Haffter, A., and Rouiller, J., D., (2016), Seismic vulnerability assessment at urban scale for two typical Swiss cities using Risk-Ue methodology. Natural Hazards 84:249–269.
- λ Meslem, A., and Lang, D., H., (2017), Physical Vulnerability in Earthquake Risk Assessment, Online Publication Date: May 2017 DOI: 10.1093/acre fore/9780199389407.013.71i
- Milutinovic, Z., V., and Trendafiloski, G., S., (2003), WP04 Vulnerability of current buildings. RISK-UE project of the EC: an advanced approach to earthquake risk scenarios with applications to different European towns, 111p.
- Mouroux, P., and Lebrun, B., (2006a), RISK-UE project: An advanced approach to earthquake risk scenarios with application to different European towns. In Assessing and managing earthquake risk, eds. C. S. Oliveira, A. Roca, and X. Goula, 479–508. Berlin: Springer.
- Mouroux, P., and Lebrun, B., (2006b), Presentation of RISK-UE Project. Bull Earthq Eng. Special Issue: Earthquake Scenarios for European Cities, 4 (4):323–339.
- Rivas-Medina, A., Gaspar-Escribano, J., M., Benito, B., and Bernabé, M. A., (2013), The role of GIS in urban seismic risk studies: Application to the city of Almería (southern Spain). Natural Hazards and Earth System Sciences 13 (11):2717–2725. Doi: 10.5194/nhess-13-2717-2013.



- Servi, M., (2004), Assessment of vulnerability to earthquake hazards using spatial multicriteria analysis: Odunpazari, Eskisehir case study, a thesis submitted to the graduate school of natural and applied sciences of Middle East technical university, 94p.
- Turner, B., Kasperson, L., Matson, R., E., McCarthy, P., A., Corell, J., J., Christensen, L., & et al., (2003), A framework for vulnerability analysis in sustainability science. Proceedings of the National Academy of Sciences of the United States of America, 100 (14): 8074-8079.
- UNESCO., (2012), Recommendation on the Historic Urban landscape. Records of the General Conference 36th session. <http://unesdoc.unesco.org/images/0021/002150/15084e.pdf#page=52>.
- UNESCO., (2013), New life for historic cities: The historic urban landscape approach explained. Parigi, Francia: UNESCO Publishing.
- Vacareanu, R., D. Lungu, C. Arion, and A. Aldea., (2004), WP07. Seismic risk scenarios handbook, 52, Report. RiskUE Project, Bucharest.
- Wisner, B., Blaikie, P., Cannon, T., Davis, I. (2004). At risk: natural hazards, people's vulnerability and disasters, 2nd end. Routledge, London, 220p.
- Yamin, L., Hurtado, E., A., Barbat, I., A., Bernal, A., G., and Cardona, O., (2012), Earthquake Vulnerability Assessment of Buildings for Catastrophic Risk Analysis in Urban Areas, 15 WCEE, LISBOA.

